

Министерство образования Республики Беларусь

Учреждение образования
БЕЛОРУССКИЙ ГОСУДАРСТВЕННЫЙ УНИВЕРСИТЕТ
ИНФОРМАТИКИ И РАДИОЭЛЕКТРОНИКИ

Факультет информационных технологий и управления

Кафедра теоретических основ электротехники

ОТЧЕТ
по лабораторной работе №13
на тему

**ПЕРЕХОДНЫЕ ПРОЦЕССЫ В ЛИНЕЙНЫХ ЦЕПЯХ
С СОСРЕДОТОЧЕННЫМИ ПАРАМЕТРАМИ**
Вариант 4

Студент группы №950503

Полховский А.Ф.

Преподаватель

Батюков С. В.

Минск 2020

1 Цели работы

Экспериментальное исследование переходных процессов в линейных цепях с сосредоточенными параметрами при включении или отключении источника напряжения; определение влияния отдельных параметров на характер переходного процесса; выбор параметров и экспериментальное исследование дифференцирующих и интегрирующих цепей.

2 Расчет домашнего задания

2.1 Исходные данные представлены в таблице 2.1. Рассчитываемая схема, заданная по варианту, представлена на рисунке 2.1.

Таблица 2.1 – Исходные данные

Вариант	Схема	Исходные данные								
		r_1 , Ом	r_2 , кОм	r_3 , кОм	r_4 , Ом	C_1 , мкФ	C_2 , мкФ	C_3 , мкФ	r_k , Ом	L , Гн
4	в	580	5,8	0,2; 0,15; 0,1	15; 30; 60	0,5	5,0	0,33; 0,47; 1,00	68	0,25

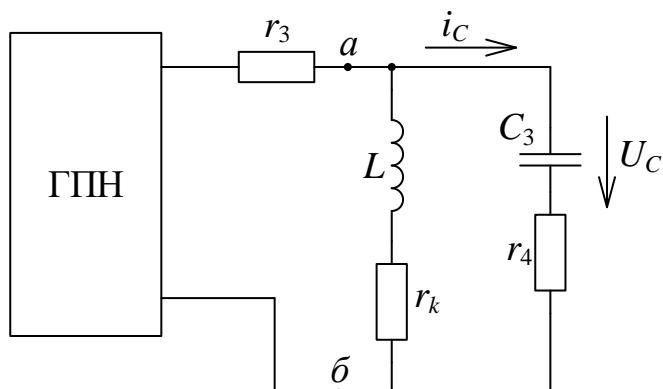


Рис. 2.1 – Заданная схема

2.2 Определить классическим методом ток в заданной цепи и напряжение на ёмкости при заряде конденсатора в схеме.

В качестве источника ЭДС используется генератор прямоугольных напряжений (ГПН).

2.2.1 Определим независимые начальные условия (ННУ). Для этого изобразим схему до коммутации (рис. 2.2).

Ключ в ветви с источником до коммутации был разомкнут. Значит значения тока и напряжения до коммутации были равны нулю (ННУ):

$U_C(0_-) = U_C(0_+) = 0$ - по второму закону коммутации,
 $i_C(0_-) = 0$.

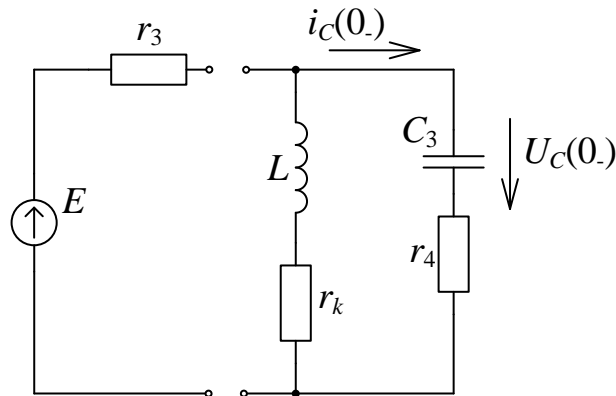


Рис. 2.2 – Цепь до коммутации

2.2.2 Определим значения силовых функций токов и напряжений в цепи при установившемся режиме (рис. 2.3).

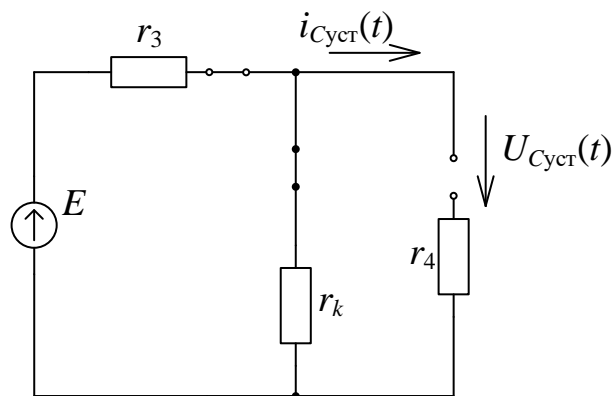


Рис. 2.3 – Цепь в установившемся режиме работы

$$i_{уст}(t) = \frac{E}{r_3 + r_k} = \frac{10}{4000 + 68} = 2,458 \cdot 10^{-3} \text{ A}$$

$$U_{уст}(t) = i_{уст}(t) \cdot r_k = 0,644 \text{ В}$$

2.2.3 Составим и решим характеристические уравнения. Для этого представим цепь после коммутации (рис. 2.4), в которой источник ЭДС заменим на его внутреннее сопротивление, а сопротивления конденсатора и катушки индуктивности представим в операторной форме.

$$Z(p) = \frac{1}{pC_3} + r_4 + \frac{r_3 \cdot (pL + r_3)}{r_3 + pL + r_k} = 0$$

$$p^2 C_3 L (r_4 + r_3) + p (L + C_3 (r_4 r_3 + r_4 r_k + r_3 r_k)) + r_3 + r_k = 0$$

$$p_{1,2} = -319,623 \mp j1,984 \cdot 10^3$$

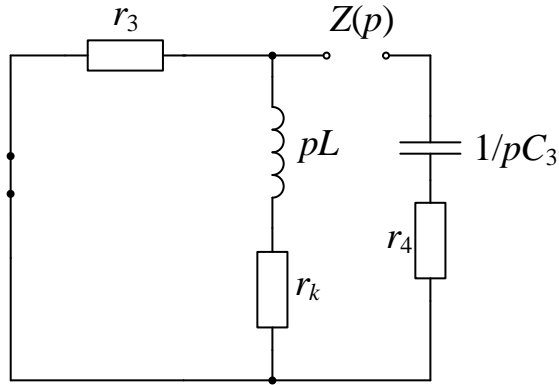


Рис. 2.4 – Схема после коммутации

В случае комплексно-сопряженных корней ($p_1 = \delta + j\omega_{св}$, $p_2 = \delta - j\omega_{св}$) свободные составляющие исходных функций будут иметь вид:

$$\begin{aligned} i_{св}(t) &= Ae^{-319,623t} \sin(1984t + \psi_1) \\ U_{св}(t) &= Be^{-319,623t} \sin(1984t + \psi_2) \end{aligned}$$

Полные токи и напряжения:

$$\begin{aligned} i_c(t) &= i_{суст}(t) + i_{св}(t) \\ U_c(t) &= U_{суст}(t) + U_{св}(t) \\ i_c(t) &= 2,458 \cdot 10^{-3} + Ae^{-319,623t} \sin(1984t + \psi_1) \\ U_c(t) &= 0,644 + Be^{-319,623t} \sin(1984t + \psi_2) \end{aligned}$$

2.2.4 Определим зависимые начальные условия (ЗНУ). Для этого изобразим эквивалентную схему замещения (рис. 2.5) для $t = 0_+$.

$$\begin{cases} U_c(t) = 0,644 + Be^{-319,623t} \sin(1984t + \psi_2) \\ U'_c(t) = -319,623Be^{-319,623t} \sin(1984t + \psi_2) + \\ \quad 1984Be^{-319,623t} \cos(1984t + \psi_2) \end{cases}$$

$$\begin{cases} U_c(0_+) = 0,644 + B \sin(\psi_2) \\ U'_c(0_+) = -319,623B \sin(\psi_2) + 1984B \cos(\psi_2) \end{cases}$$

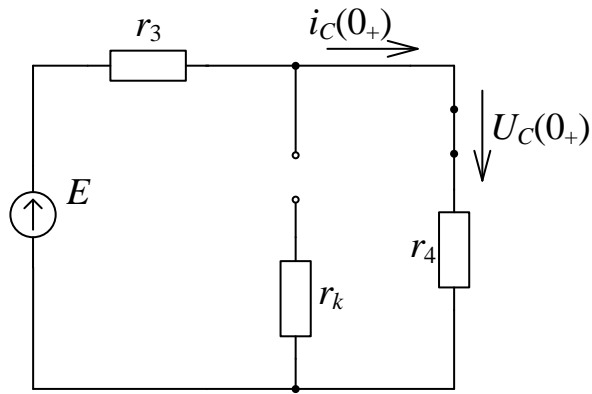


Рис. 2.5 – Эквивалентная схема замещения

$$i_C(0_+) = \frac{E}{r_3 + r_k} = \frac{10}{4000 + 68} = 2,458 \cdot 10^{-3} \text{ A}$$

$$i_C(t) = C \cdot \frac{dU}{dt}$$

$$\left. \frac{dU}{dt} \right|_{t=0_+} = \frac{i_C(0_+)}{C}$$

$$U'_C(0_+) = \frac{i_C(0_+)}{C} = \frac{2,458 \cdot 10^{-3}}{1 \cdot 10^{-6}} = 2,458 \cdot 10^3 \text{ B}$$

$$\begin{cases} 0 = 0,644 + B \sin(\psi_2) \\ 2458 = -319,623B \sin(\psi_2) + 1984B \cos(\psi_2) \\ \psi_2 = -26,9^\circ \\ B = 1,305 \end{cases}$$

$$U_C(t) = 0,644 + 1,305e^{-319,623t} \sin(1984t - 26,9)$$

Значения $i_L(0_+)$ определим по схеме после коммутации (рис. 2.6).

$$\begin{cases} i_C(t) = 2,458 \cdot 10^{-3} + Ae^{-319,623t} \sin(1984t + \psi_1) \\ i'_C(t) = -319,623Ae^{-319,623t} \sin(1984t + \psi_1) + \\ \quad 1984Ae^{-319,623t} \cos(1984t + \psi_1) \end{cases}$$

$$\begin{cases} i_C(0_+) = 2,458 \cdot 10^{-3} + A \sin(\psi_1) \\ i'_C(0_+) = -319,623A \sin(\psi_1) + 1984A \cos(\psi_1) \end{cases}$$

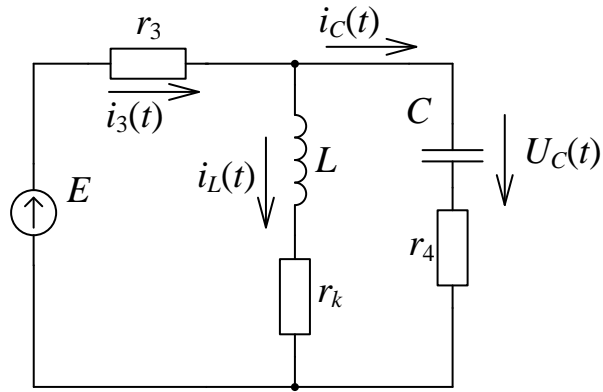


Рис. 2.6 – Схема после коммутации

$$\begin{cases}
 r_3 i_3(t) + L \frac{di_L(t)}{dt} + r_k i_L(t) = E \\
 r_3 i_3(t) + \frac{1}{C} \int i_c(t) dt + r_4 i_c(t) = E \\
 i_3(t) = i_L(t) + i_c(t)
 \end{cases}$$

$$\frac{d(r_3 i_3(t) + \frac{1}{C} \int i_c(t) dt + r_4 i_c(t))}{dt} = \frac{dE}{dt}$$

$$r_3 \frac{di_3(t)}{dt} + r_4 \frac{di_c(t)}{dt} + \frac{i_c(t)}{C} = 0$$

$$i_3(0_+) = i_c(0_+)$$

$$(r_3 + r_4) \frac{di_3(t)}{dt} + \frac{i_c(t)}{C} = 0$$

$$-\frac{i_c(t)}{(r_3 + r_4)C} = \frac{di_3(t)}{dt}$$

$$\left. \frac{di_3(t)}{dt} \right|_{t=0_+} = -\frac{i_c(0_+)}{(r_3 + r_4)C}$$

$$i'_c(0_+) = -0,6094$$

$$\begin{cases}
 2,458 \cdot 10^{-3} = 2,458 \cdot 10^{-3} + A \sin(\psi_1) \\
 -0,6094 = -319,623A \sin(\psi_2) + 1984A \cos(\psi_1)
 \end{cases}$$

$$\psi_1 = \pi$$

$$A = 3,071 \cdot 10^{-4}$$

$$i_c(t) = 2,458 \cdot 10^{-3} + 3,071 \cdot 10^{-4} \cdot e^{-319,623t} \sin(1994t + \pi)$$

2.3 График зависимости

$$U_C(t) = 0,644 + 1,305e^{-319,623t} \sin(1984t - 26,9)$$

ИМЕЕТ ВИД

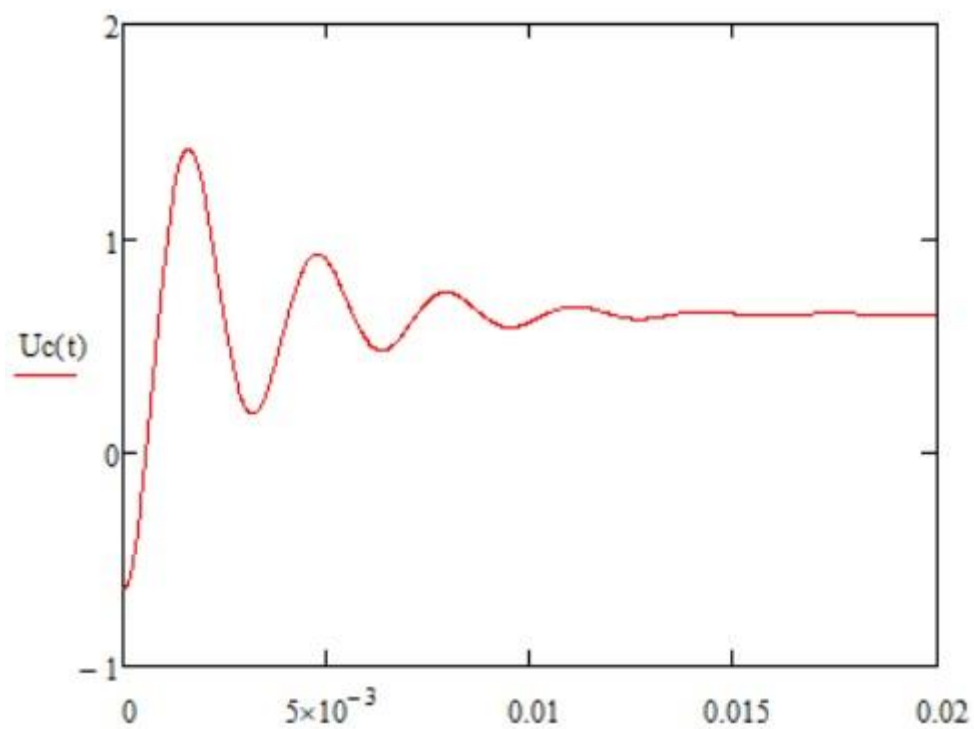


Рис. 2.7 – График зависимости $U_C(t)$

График зависимости

$$i_C(t) = 2,458 \cdot 10^{-3} + 3,071 \cdot 10^{-4} \cdot e^{-319,623t} \sin(1994t + \pi)$$

имеет вид

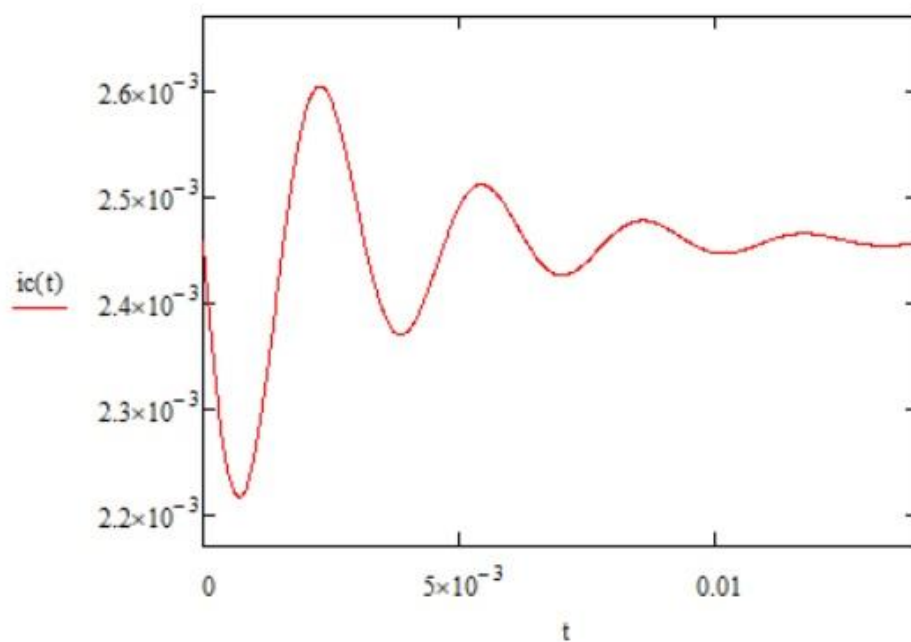


Рис. 2.8 – График зависимости $i_C(t)$

2.4 Определим декремент и логарифмический декремент затухания колебаний, а также частоту собственных колебаний.

$$\tau_{\text{ц}} = \left| \frac{1}{\delta} \right| = \left| \frac{1}{-319,623} \right| = 0,00313$$

$$T_c = \frac{2\pi}{\omega} = 0,00313$$

$$\Delta = e^{|\delta| \cdot T_c} = e^{319,623 \cdot 0,00313} = e^{1,0004} = 2,72918$$

$$\theta = |\delta| \cdot T_c = 1,0004$$

2.5 Рассчитаем сопротивления r_3 и постоянную времени $\tau_{\text{ц}}$ дифференцирующей цепи (рис. 2.9) в случае подачи на вход прямоугольного импульса длительностью $\tau_{\text{и}} = 0,01$ с, с амплитудой 10В, при частоте повторения $f = 50$ Гц. Начальные данные ёмкости для трёх случаев имеют вид:

$$C_3 = 0,33 \cdot 10^{-6}$$

$$C'_3 = 0,33 \cdot 10^{-6}$$

$$C''_3 = 1 \cdot 10^{-6}$$

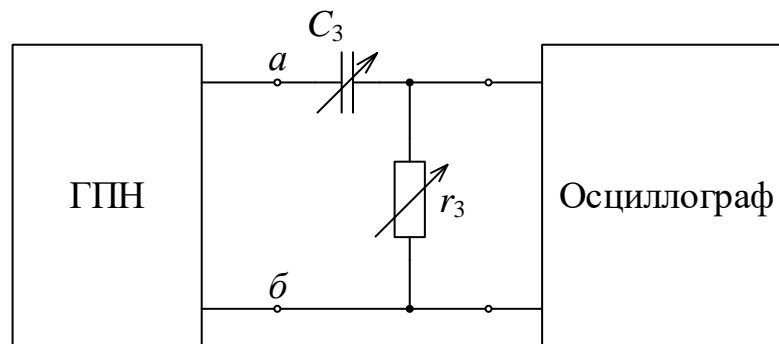


Рис. 2.9 – Схема дифференцирующей цепи

$$\omega = 2\pi f = 2 \cdot 50\pi$$

$$rC \leq \frac{1}{11\omega}$$

$$r_{\text{max}} = \frac{1}{11\omega C_3} = \frac{1}{11 \cdot 100\pi \cdot 0,33 \cdot 10^{-6}} = 876,887$$

$$r'_{\text{max}} = \frac{1}{11\omega C'_3} = \frac{1}{11 \cdot 100\pi \cdot 0,33 \cdot 10^{-6}} = 876,887$$

$$r''_{\text{max}} = \frac{1}{11\omega C''_3} = \frac{1}{11 \cdot 100\pi \cdot 1 \cdot 10^{-6}} = 289,373$$

$$\tau_{\text{ц}} = r_{\text{max}} C_3 = 876,887 \cdot 0,33 \cdot 10^{-6} = 2,8937 \cdot 10^{-4}$$

$$U(t) = \frac{4U_{\text{max}}}{\pi} \left(\sin\omega t + \frac{1}{3} \sin 3\omega t + \dots \right)$$

$$U(t) = 10 \cdot e^{-\frac{t}{2,8937 \cdot 10^{-4}}}$$

График зависимости $U(t)$ имеет вид

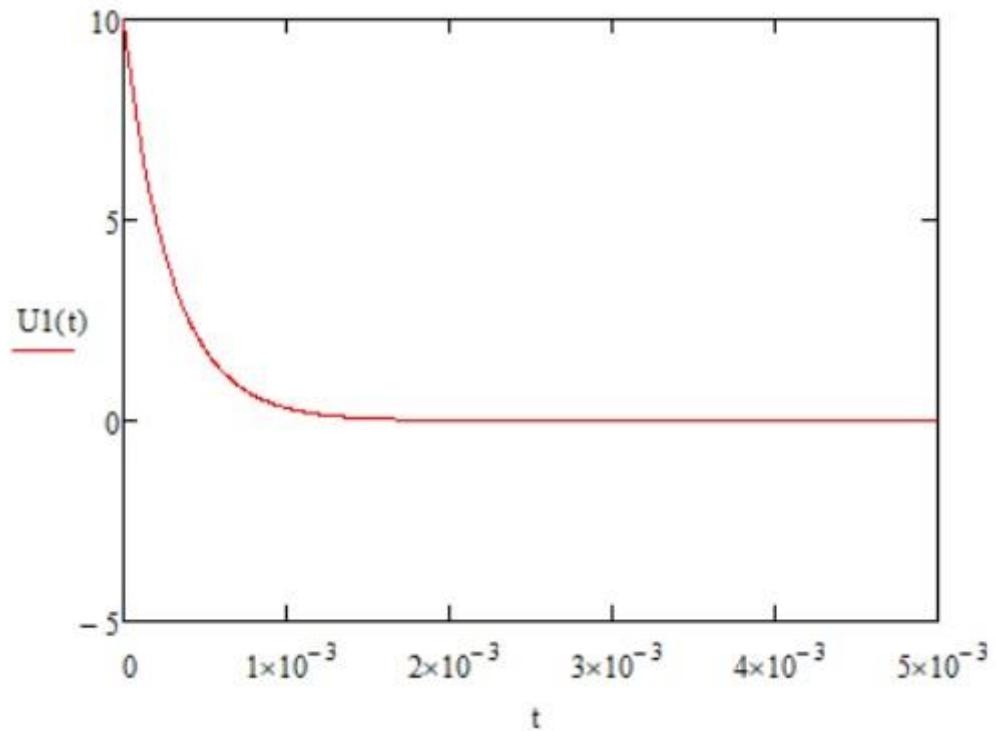


Рис. 2.10 – График зависимости $U(t)$

2.6 Рассчитаем ёмкость C и постоянную времени $\tau_{\text{ц}}$ интегрирующей цепи (рис. 2.11) при подаче на вход цепи прямоугольного импульса длительностью $\tau_{\text{и}} = 0,01$ с, с амплитудой 10В, при частоте повторения $f = 50$ Гц. Начальные данные сопротивления для трёх случаев имеют вид:

$$r_3 = 100$$

$$r'_3 = 200$$

$$r''_3 = 200$$

$$C_{\min} = \frac{10}{\omega r_3} = \frac{10}{100\pi \cdot 100} = 3,1831 \cdot 10^{-4}$$

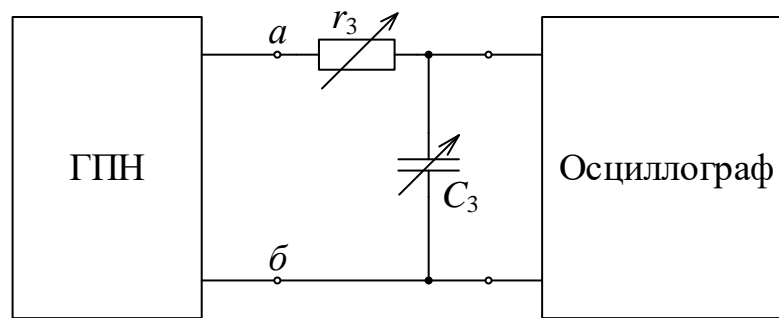


Рис. 2.11 – Схема интегрирующей цепи

$$\tau_{ц} = C_{min} r_3 = 3,1831 \cdot 10^{-4} \cdot 100 = 0,03183 \text{ с}$$

$$U(t) = 10 \cdot (1 - e^{-\frac{t}{0,03183}})$$

График зависимости $U(t)$ имеет вид

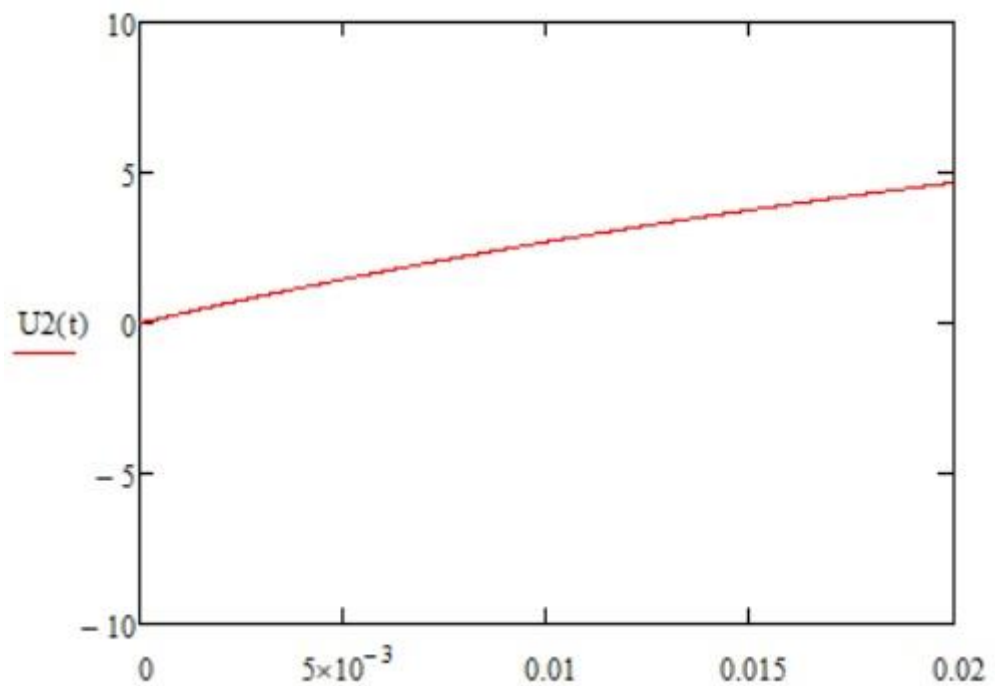


Рис. 2.12 – График зависимости $U(t)$

3 Результаты эксперимента.

Форма кривой подаваемого напряжения на схему (рис. 2.1) имеет вид

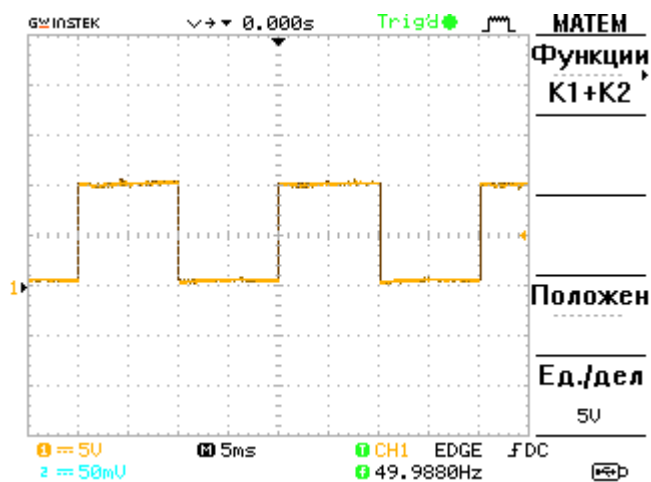
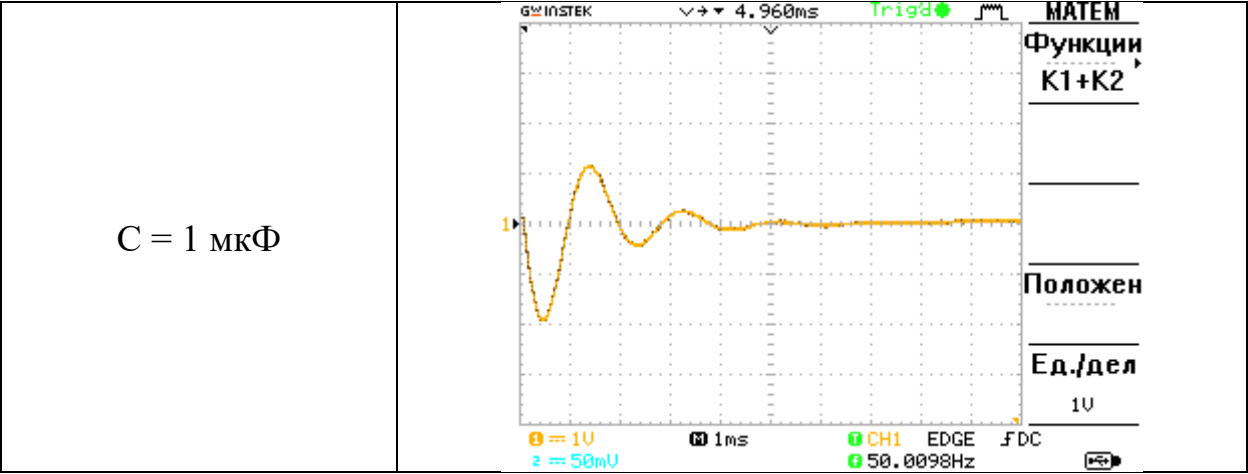


Рисунок 3.1 – Кривая напряжения ГПН

Результаты измерения напряжения U_C приведены в таблице 3.1.

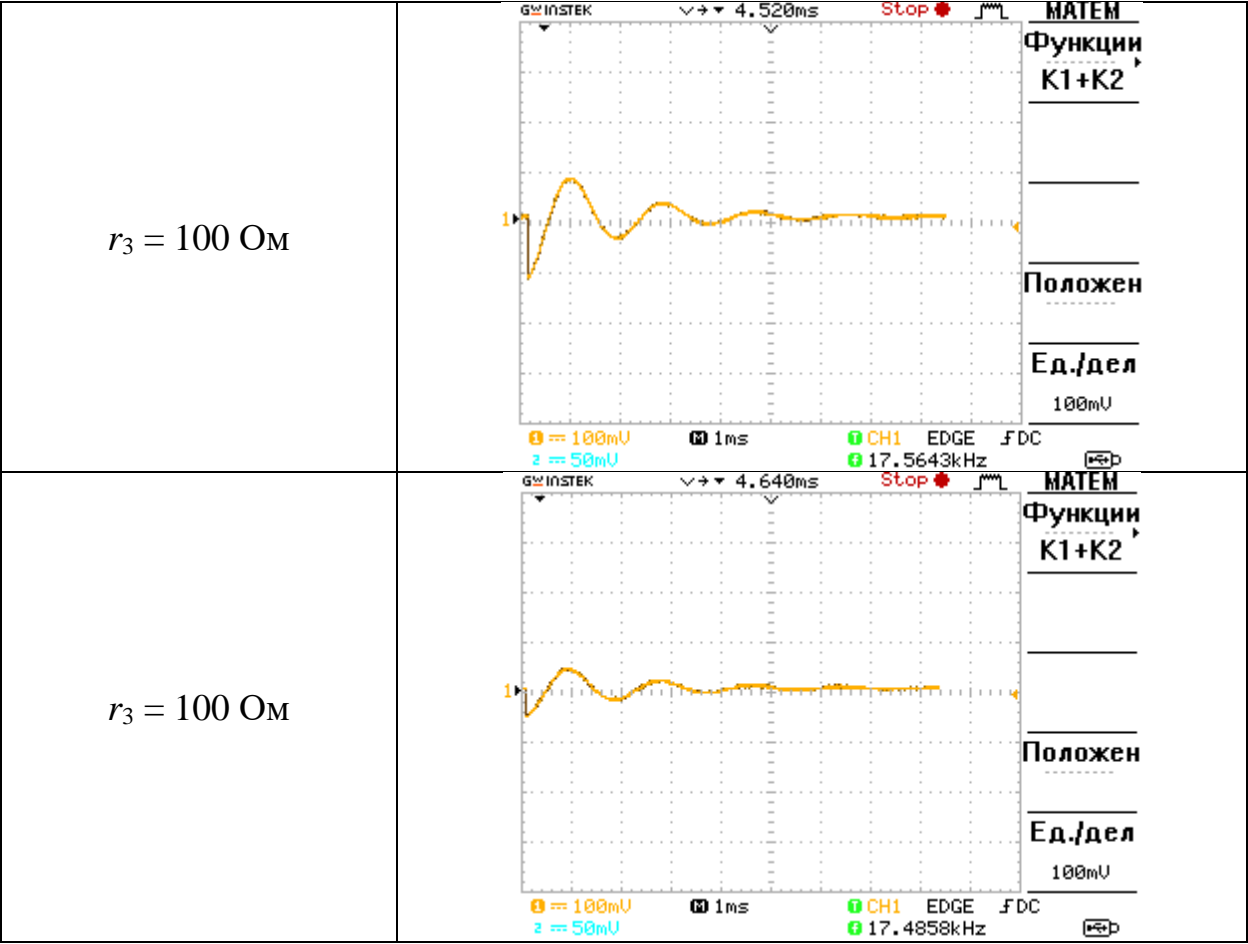
Таблица 3.1 – Графики напряжения при различных значениях C

$C = 0,22 \text{ мкФ}$	
$C = 0,22 \text{ мкФ}$	



Результаты измерения тока I_C представлены в таблице 3.2.

Таблица 3.2 – Графики токов при различных значениях r_3 .



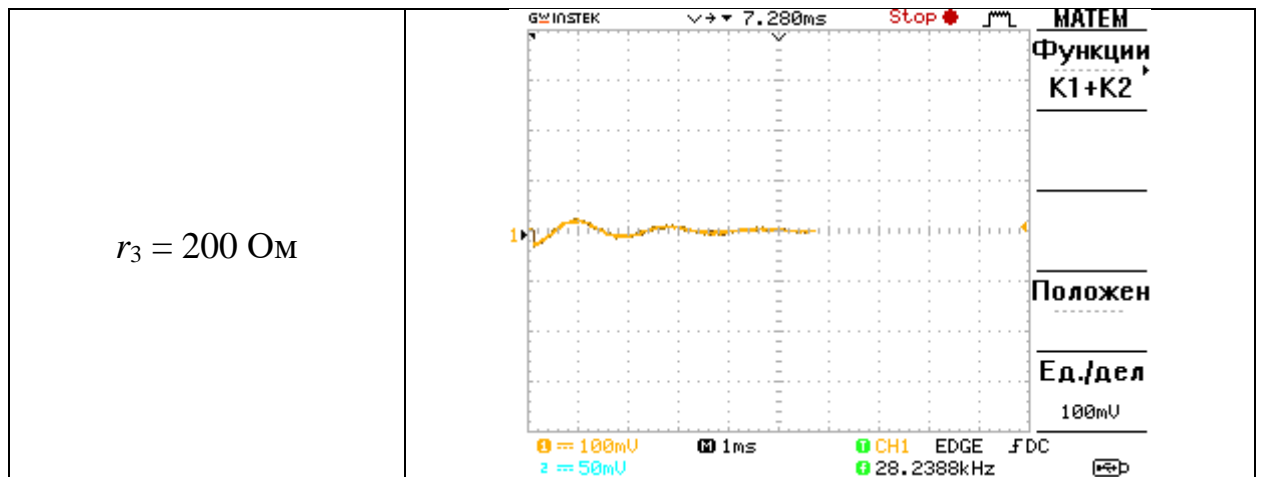


График напряжения U в дифференцирующей цепи принимает вид

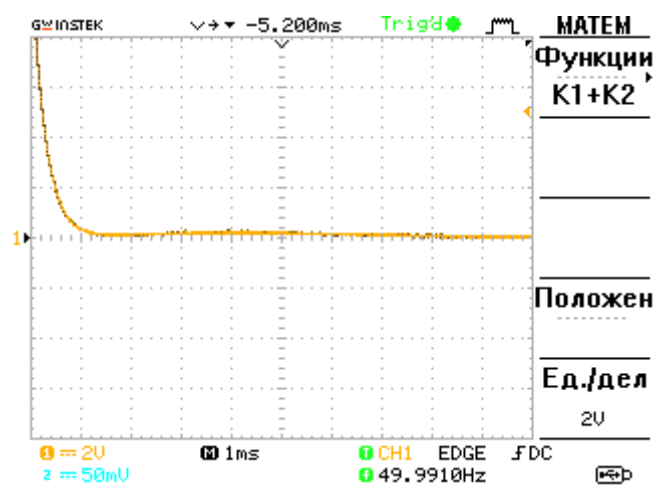


Рисунок 3.2 – График напряжения в дифференцирующей цепи

График напряжения U в интегрирующей цепи принимает вид

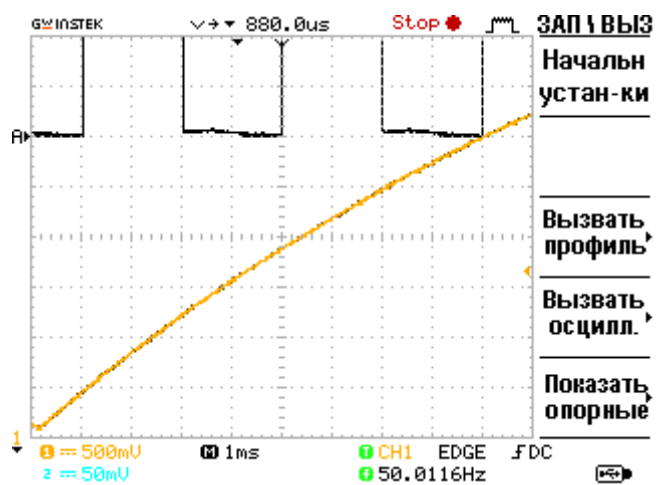


Рисунок 3.3 – График напряжения в интегрирующей цепи

4 Выводы.

В результате проведенных экспериментальных измерений были получены результаты, сопоставимые с результатами теоретических расчетов и графиков. А также экспериментально были выявлены зависимости напряжения и тока от значений емкости конденсатора C_3 и сопротивления r_3 :

- 1) при увеличении емкости конденсатора увеличивается амплитуда затухающих колебаний напряжения U_C ;
- 2) при увеличении значения сопротивления r_3 уменьшается амплитуда затухающих колебаний тока I_3 .

При этом период затухающих колебаний напряжения и тока не изменяется. Для напряжения $T = 2$ мс, для тока $T = 2$ мс.

Постоянная времени цепи при эксперименте равна:

$$\tau = \left| \frac{1}{\delta} \right| = 0,0018 \text{ с.}$$

Период затухающих колебаний (определяем по графикам в таблице 3.1) равен:

$$T = 2 \cdot 10^{-3} \text{ с.}$$

Определим декремент и логарифмический декремент затухающих колебаний:

$$\Delta = e^{|\delta| \cdot T} = e^{\frac{T}{\tau}} = e^{\frac{0,002}{0,0018}} = 3,038;$$

$$\theta = \frac{T}{\tau} = \frac{0,002}{0,0018} = 1,111.$$